#### 河床洗掘による根固め工の滑り限界の力学的検討

広島大学大学院 学生会員 ○土井豆政廣 広島大学大学院 学生会員 盧庚範 中央大学研究開発機構 フェロー会員 福岡捷二 広島大学大学院 正会員 内田龍彦 広島大学大学院 正会員 渡邊明英

X(縦断)

# <u>1. 序論</u>

根固め工は、河道湾曲部などの河床洗掘が著しい箇所において護岸 基礎工を保護するために設置される.特に、根固め工上流端では、大 きな河床洗掘を受けるため被災を受けやすい.根固め工の破壊は法覆 工の被災原因となるため、根固め工の設計法を確立することは重要な 検討事項であり、河床洗掘を受けても根固め工の滑り破壊が生じない 必要敷設幅の算定法を確立する必要があるり.本研究では、根固め工の 変形から破壊に至るプロセスを力学的に検討するための滑り力の測定 方法の開発と、敷設幅算定のための基礎資料を得ることを目的として いる.

## 2. ブロックが砂面から受ける力の算出方法

図-1 に示す,長さ 2.0m,幅 3.0m,高さ 2.0m の大型水槽内に平均 粒径 0.8mm の一様砂を河床材として高さ 1.0m になるように敷き詰めている.図-1 の X,Y 方向をそれぞれ河川に対する縦断,横断とする.根 固めブロックは幅 b=0.15m,高さ d=0.10m のコンクリートブロックを用い,ブロック 1 個当りが占める幅 b0=0.24m で設置し,根固め工下部には吸出し防止マットを敷く. 根固め工底部にある砂の流出による破

根固めエ 2.0m 吸出し防止マット 2.0m 3.0m 図-1 実験施設 必要限界敷設幅  $B_d = B_c + b_0 \cdot \frac{r}{\mu W_0}$ **(1)** 敷設幅 Вс 平坦幅 L, 滑り力F 平田幅の 不足長さ 洗掘深2。  $W_0$  $b_0 F /_{\mu W_0}$ 

図-2 根固め工に滑りが生じない幅の考え

壊を再現するため、静水状態において根固め工先端で強制的に洗掘を生じさせる。図-2に示すように、初期河床高から先端ブロック下部の最深高までの河床の低下量を  $Z_s$ 、根固め工敷設幅を  $B_c$ 、根固め工平坦河床部の幅を  $L_n$ 、ブロック一個の水中重量を  $W_0$ とし、本実験は横断方向にブロック 4 個を連結した  $B_c$ =0.86m で行う。内田ら 1は河岸とブロックの連結力 F(以下、滑り力と呼ぶ)を測定し、根固め工に滑り破壊が生じない敷設幅

連結材(アクリル樹脂)
根固めブロック
歪みゲージ

図-3 連結力の測定

 $B_c$ の検討を行っている。図-2に示すように、滑り力 Fは根固め工に滑り破壊が生じないための摩擦抵抗の不足分であるため、摩擦力の不足分を平坦幅で表せば、根固め工が滑らない必要敷設幅  $B_d$ を求めることができる(式(1))。しかし、洗掘深  $Z_s$ と滑り力 Fの関係は明らかになっておらず、 $Z_s$ に対する敷設幅の算定には至って

いない. 本実験では、個々の根固めブロックに作用している力について明らかにするため、以下に示すようにブロック連結部の力を直接測定する. 図-3 に示すように、根固めブロックが自由に変形できるよう連結材を接続し、防水型の歪みゲージ(KFW-5-120)を添付して応力を測定する. 歪みゲージは連結材の表裏面に添付し、曲げと温度影響を除去し引張応力成分のみを検出可能として



$$N_{n} = W_{0} \cos \phi_{n} + T_{n} \sin \left( \frac{\phi_{n} - \phi_{n+1}}{2} \right) + T_{n-1} \sin \left( \frac{\phi_{n-1} - \phi_{n}}{2} \right)$$
 (3)

表-1 連結材諸元

m:ブロック番号

	JIS 規格	本実験
弹性係数(N/m²)	$3.50\times10^3$	3.27×10 <sup>3</sup>
ポアソン比	0.23	0.23
標準偏差 σ <b>(N)</b>	0	3.25

いる. また,連結材には応力変化を明確に検出するため弾性係数の小さいアクリル樹脂を選定し、引張試験で精度の検証を行い測定可能であることを確認している(表-1). 図-4 に諸量の定義を示す. 測定を行った連結力を最先端ブロックから河岸方向へ  $T_n$ , ブロック角度を  $\phi_n$ とする(n=1~4).

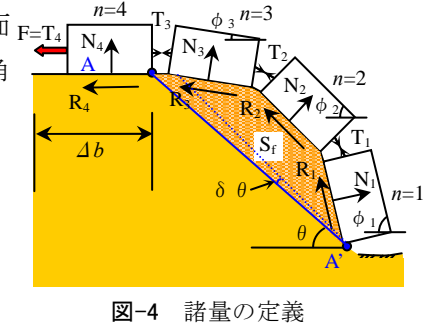
キーワード:根固め工,滑り破壊,必要限界敷設幅, 歪みゲージ,連結力

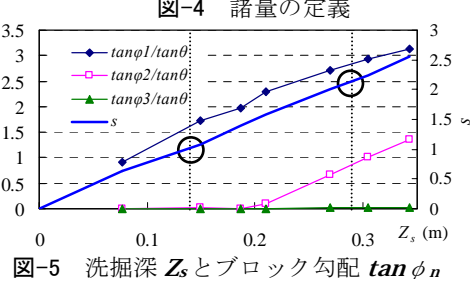
連絡先:広島大学大学院工学研究科社会環境システム専攻 〒739-8527 広島県東広島市鏡山 1-4-1 Tel 0824-24-784

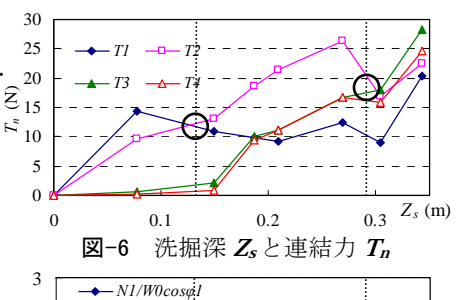
ブロックの重力成分と測定された連結力との力の釣り合いから,ブロックが砂面  $F=T_4$  から受ける力の接線,法線成分  $R_n,N_n$  は式(2),(3)で求められる.また,水中安息角  $\theta$  の砂面を A-A'とし,河岸から点 A までの距離を  $\Delta b$  とする.

#### 3. 実験結果及び考察

図-5 は河床洗掘による 根固めブロック勾配  $tan \phi_n$ を砂の安定勾配であ る水中安息角  $\theta$  で無次元化したものである. 同図には A-A'の砂面(A点)が最 先端から何個目のブロックまで到達しているのかを表すため、 $s=(B_c-\Delta)$  $b)/b_0$ についても示している. 図-6 は連結力  $T_n$ の測定結果を示す. 根固め工  $^{3.5}$ は洗掘深 Zsの増加に伴い、ブロック連結点を支点として砂面方向に回転す。2.5 る成分のモーメントが発生し、最先端ブロックから角度を増加させながら変 形する. その角度は水中安息角よりも大きく, ブロック下部からの土砂流出 を抑制する変形形状をとる.この下部土砂は一時的に流出を抑制される不安 定なものであり、ここでは  $S_f$ と定義する、図-6 に示すように、 $Z_s < 0.1 m$  の 洗掘初期段階では最先端ブロックの連結力 Tiが増加し、河床洗掘の進行に 伴い河岸方向へと連結力の伝達が生じ $Z_s=0.3$ mでは $T_3$ が最大となっている. 滑り力  $F(T_4)$ は  $Z_{s=0.15m}$  付近から発生しており, これが n=4 の根固め工の 滑り限界である。図-7.8 は洗掘深 Zsと根固めブロックが砂面から受ける垂 直力  $N_n$ , せん断力  $R_n$ を示しており、 $N_n$ はブロック重量の砂面に対する法線 成分で無次元化し、 $R_n$ は図-4 の矢印方向を正とし垂直力  $N_n$ で除して摩擦 係数として表している. 図-8 には砂の限界勾配として  $tan \theta$  も示している. 図-7 を見ると、洗掘が進行し根固め工が変形するにつれていずれのブロット クに関してもブロック重量に対する垂直抗力以上の垂直力が作用している。1.5 のがわかる. **図-8** に示すように、この垂直力の増加に伴うせん断特性を見<sup>^</sup> ると, 根固め工下部からの土砂流出点である最先端ブロックでは土砂流出抑 制のため底面にせん断抵抗を有しているが、2,3番目のブロックに関しては 洗掘が進行する過程において、図-8中のO印で示すように R/Nが正から負 へと転換し、摩擦抵抗が減少する点が存在する. これは図-5 に示すように 安息角  $\theta$  の砂面 A-A'が 2,3 番目のブロックに到達する点( $s \ge 1$  及び  $s \ge 2$ ) 尽 ほぼ一致していることから、不安定土砂の領域では、変形のない平坦部のズ -0.2 ロックにおいても摩擦抵抗の減少が生じる. そこで, 不安定土砂領域のブロ ックによる滑りの駆動力について考察する. ここでは A-A'の砂面が 3 番目 のブロックに達したときの  $T_3$ を対象とする.  $\mathbf{Z}_3$ -4 に示すように安息角の砂







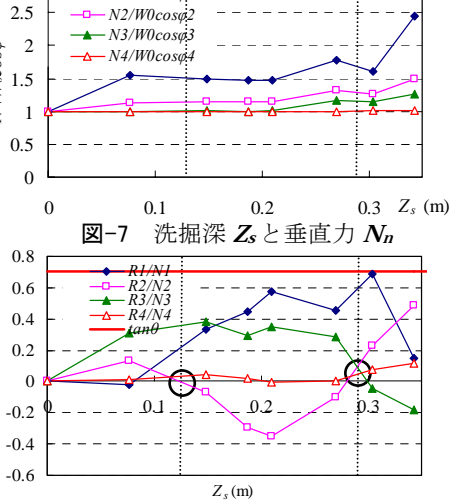


図-8 洗掘深 Zsと Rn/Nn

面より角度  $\delta$   $\theta$ 大きい平行滑りを仮定し、力の釣り合いから  $T_3$  が最大となる  $\delta$   $\theta$  の砂面を滑り面とする.この方法 により求まる  $T_3$ は 7.7N であり、図-6 に示した s=2 の点での測定値  $T_s$ =16N に比べると小さい.このため滑り力は  $S_f$ の体積増加による滑り面上の荷重増加の他に付加的な外力の作用により発生していると推測される.

#### 4. 結論

根固めブロックの連結部の力の直接測定を可能とし、河床洗掘による根固め工の変形に伴う下部土砂の構成と根固め工に作用する力の特性を調べた。不安定土砂領域のブロックはたとえ変形が伝わっていなくても滑りに対する有効な摩擦抵抗が期待できないため、不安定土砂領域で生じる滑りの駆動力に対して、安息角の斜面が到達していない領域の摩擦で根固め工の滑りに抵抗するように必要限界敷設幅  $B_d$ を算定する必要がある。

## 参考文献

1) 内田龍彦・福岡捷二・盧庚範・土井豆政廣・山形勝巳:根固め工の滑り破壊に関する研究,河川技術論文集,第10巻, 2004